

РАЗДЕЛЕНИЕ ЭЛЕКТРОНОВ И ПИОНОВ В КАЛОРИМЕТРЕ ДЕТЕКТОРА СНД

*M. H. Ачасов, A. C. Купич**

Институт ядерной физики им. Г. И. Будкера СО РАН, Новосибирск, Россия

Создана методика разделения событий процессов $e^+e^- \rightarrow e^+e^-$ и $e^+e^- \rightarrow \pi^+\pi^-$ в области энергии от 0,5 до 1,0 ГэВ в системе центра масс по энерговыделению в электромагнитном калориметре детектора СНД с применением методов машинного обучения. Эффективности идентификации событий процессов $e^+e^- \rightarrow e^+e^-$ и $e^+e^- \rightarrow \pi^+\pi^-$ составили 99,6 и 99,8 % соответственно.

A technique of discrimination of the $e^+e^- \rightarrow e^+e^-$ and $e^+e^- \rightarrow \pi^+\pi^-$ events in the energy range $0.5 < \sqrt{s} < 1$ GeV by energy deposition in the electromagnetic calorimeter of SND detector was developed by applying machine learning techniques. Identification efficiencies for the $e^+e^- \rightarrow e^+e^-$ and $e^+e^- \rightarrow \pi^+\pi^-$ events are 99.6 and 99.8%, respectively.

PACS: 07.77.Ka

ВВЕДЕНИЕ

Сферический нейтральный детектор (СНД) [1] — универсальный детектор для экспериментов на e^+e^- -коллайдере ВЭПП-2000 (Новосибирск) [2] в области энергии от 0,2 до 2,0 ГэВ в системе центра масс. Детектор состоит из трековой системы на основе дрейфовой и пропорциональной камер, расположенных в едином газовом объеме, системы идентификации частиц на основе пороговых аэрогелевых черенковских счетчиков [3], трехслойного сферического электромагнитного калориметра на основе кристаллов NaI(Tl) и мюонной системы, состоящей из пропорциональных трубок и сцинтиляционных счетчиков.

Программа экспериментов включает измерение сечений процессов e^+e^- -аннигиляции в адроны, которое в значительной степени мотивировано необходимостью проведения высокоточных расчетов адронного вклада в аномальный магнитный момент мюона $(g - 2)/2$. В частности, сечение процесса

*E-mail: kupich@inp.nsk.su

$e^+e^- \rightarrow \pi^+\pi^-$ в области энергии $\sqrt{s} < 1$ ГэВ дает основной вклад в эту величину и должно быть измерено с точностью выше 1 %.

Сечение процесса $e^+e^- \rightarrow \pi^+\pi^-$ измеряется следующим образом. Отбираются коллинеарные события, куда входят события процессов $e^+e^- \rightarrow e^+e^-$, $\pi^+\pi^-$, $\mu^+\mu^-$. События разделяются по типам на e^+e^- и $\pi^+\pi^-$ ($\mu^+\mu^-$), и определяется их количество. Эффективности регистрации событий ε_{ee} и $\varepsilon_{\pi\pi}$ определяются путем моделирования методом Монте-Карло. По событиям $e^+e^- \rightarrow e^+e^-$ измеряется интегральная светимость $IL = N_{ee}/\sigma_{ee}\varepsilon_{ee}$, где N_{ee} и σ_{ee} — количество событий и теоретическое сечение процесса $e^+e^- \rightarrow e^+e^-$ соответственно. Для определения количества событий $N_{\pi\pi}$ процесса $e^+e^- \rightarrow \pi^+\pi^-$ количество событий реакции $e^+e^- \rightarrow \mu^+\mu^-$ рассчитывается по теоретическому сечению и вычитается. Величина сечения процесса $e^+e^- \rightarrow \pi^+\pi^-$ определяется по формуле

$$\sigma_{\pi\pi} = \frac{N_{\pi\pi}}{N_{ee}} \frac{\varepsilon_{ee}}{\varepsilon_{\pi\pi}} \frac{\sigma_{ee}}{1 + \delta_r}. \quad (1)$$

Здесь $1 + \delta_r$ — поправка на излучение фотонов начальными частицами.

События процессов $e^+e^- \rightarrow e^+e^-$, $\mu^+\mu^-$ и $\pi^+\pi^-$ различаются по характеру энергетических потерь в калориметре. Различия в энерговыделениях частиц в калориметре были использованы для создания параметра разделения событий процессов $e^+e^- \rightarrow e^+e^-$ и $e^+e^- \rightarrow \pi^+\pi^-$.

ПАРАМЕТР РАЗДЕЛЕНИЯ

Многослойная структура калориметра СНД дает возможность использовать различия энерговыделений вдоль направления движения для определения типа частиц. В качестве входных параметров для разделения используются энерговыделения в слоях башен, из которых состоит кластер в калориметре, соответствующий частице (башня — это три расположенных один за другим счетчика первого, второго и третьего слоев): 0E_j — энерговыделение в j -м слое башни с наибольшим энерговыделением, 1E_j — сумма энерговыделений в j -м слое восьми башен, расположенных вокруг башни с наибольшим энерговыделением, 2E_j — сумма энерговыделений в j -м слое остальных башен кластера ($j = 1, 2, 3$).

Наиболее полным образом учесть корреляции энерговыделений в слоях калориметра позволяет параметр разделения, основанный на машинном обучении. Для обучения была выбрана сеть (лес), включающая 900 деревьев решений с глубиной, равной девяти каждое. Сеть обучалась по событиям моделирования процессов $e^+e^- \rightarrow \pi^+\pi^-$ и $e^+e^- \rightarrow e^+e^-$. Входными параметрами являются энерговыделения kE_j каждой из частиц и средний угол

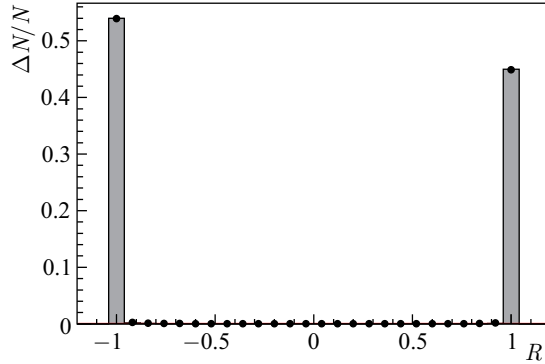


Рис. 1. Распределение по параметру e/π разделения R для всех коллинеарных событий при энергии $\sqrt{s} = 778$ МэВ: точки — эксперимент; гистограмма — моделирование

$\theta_0 = (\theta_1 - \theta_2 - 180^\circ)/2$ — всего 19 параметров. Здесь индексы 1 и 2 обозначают номера частиц. Выходной параметр сети R (параметр разделения) принимает значения от -1 до 1 (рис. 1). События $e^+e^- \rightarrow e^+e^-$ в основном располагаются в области $R < 0$, а $e^+e^- \rightarrow \pi^+\pi^-, \mu^+\mu^-$ — в области $R > 0$.

Эффективности идентификации

$$\varepsilon_e = \frac{N^{ee}(R \in [-1; 0])}{N^{ee}(R \in [-1; 1])}, \quad \varepsilon_\pi = \frac{N^{\pi\pi}(R \in [0; 1])}{N^{\pi\pi}(R \in [-1; 1])} \quad (2)$$

событий процессов $e^+e^- \rightarrow e^+e^-$ и $\pi^+\pi^-$ в области пика ρ -мезона, определенные путем моделирования, составляют около 0,998 и 0,999 соответственно. Здесь $N^{ee, \pi\pi}(R \in [a; b])$ — количество событий процессов $e^+e^- \rightarrow e^+e^-$ и $\pi^+\pi^-$ при значениях R из интервала $[a; b]$.

ЭФФЕКТИВНОСТЬ РАЗДЕЛЕНИЯ

Неточности моделирования энерговыделения частиц в слоях калориметра, в частности моделирования ядерного взаимодействия пионов, приводят к ошибке определения эффективности идентификации. Для оценки систематической погрешности процедуры разделения из частиц, зарегистрированных в процессах $e^+e^- \rightarrow e^+e^-$ и $e^+e^- \rightarrow \pi^+\pi^-$, составлялись псевдо- ee - и псевдо- $\pi\pi$ -события. При отборе таких частиц использовались сигналы аэрогелевых черенковских счетчиков (счетчик срабатывает от электронов и не срабатывает от пионов) и параметр e/π разделения R' , для которого входными данными являлись только энерговыделения ${}^k E_j$ одной частицы. Частица считалась

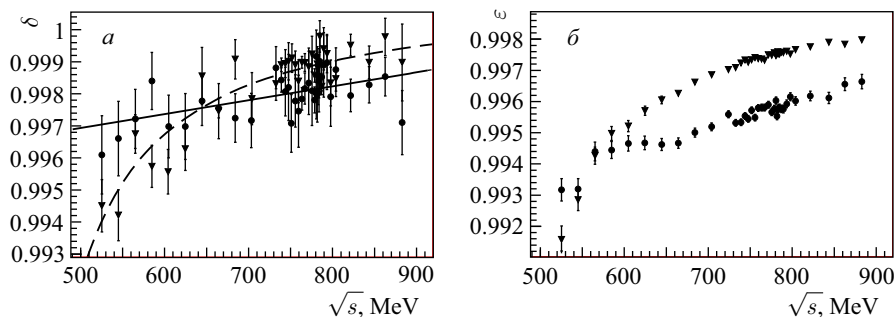


Рис. 2. Поправочные коэффициенты к эффективностям разделения (а) и эффективности разделения (после введения поправки) (б) событий процессов $e^+e^- \rightarrow e^+e^-$ (●) и $e^+e^- \rightarrow \pi^+\pi^-$ (▼) в зависимости от энергии

«пионом», если обе коллинеарные частицы не вызывали срабатывания черенковского счетчика и для второй частицы $R' > 0$. В случае, когда $R' < 0$ для второй частицы и счетчик срабатывал для обеих частиц, частица считалась «электроном». Отобранные частицы объединялись попарно в псевдособытия. Эффективность разделения при моделировании псевдособытий и настоящих событий согласуется с точностью 0,1 % для e^+e^- и 0,02 % для $\pi^+\pi^-$.

Псевдособытия были использованы для определения поправочных коэффициентов к эффективности идентификации $\delta_x = \epsilon_x^{\text{exp}} / \epsilon_x^{\text{mc}}$, где $x = e$ или π , ϵ_x^{exp} и ϵ_x^{mc} — эффективности идентификации псевдособытий эксперимента и моделирования соответственно, рассчитанные по формулам (2). Величины поправочных коэффициентов меняются от 0,999 до 0,994 с уменьшением энергии (рис. 2, а). Погрешность определения поправки составляет 10^{-3} для δ_e и $5 \cdot 10^{-4}$ для δ_π . В погрешности дают вклады статистическая погрешность определения поправочных коэффициентов и разница между эффективностями идентификации для настоящих и псевдособытий.

Эффективности идентификации событий процессов $e^+e^- \rightarrow e^+e^-$ и $e^+e^- \rightarrow \pi^+\pi^-$ после умножения на поправочные коэффициенты показаны на рис. 2, б. Погрешности эффективностей определяются погрешностями поправочных коэффициентов. Вклад погрешности эффективности идентификации в погрешность измерения сечения процесса $e^+e^- \rightarrow \pi^+\pi^-$ в области энергии от 0,5 до 1,0 ГэВ составляет 0,2–0,9 %.

ЗАКЛЮЧЕНИЕ

Разработан метод разделения событий процессов $e^+e^- \rightarrow e^+e^-$ и $e^+e^- \rightarrow \pi^+\pi^-$ с помощью калориметра детектора СНД. Определены эффективности идентификации $\varepsilon_e = 99,6\%$ и $\varepsilon_\pi = 99,8\%$ процессов $e^+e^- \rightarrow e^+e^-$ и

$e^+e^- \rightarrow \pi^+\pi^-$ соответственно. Вклад погрешностей ε_e и ε_π в погрешность измерения сечения процесса $e^+e^- \rightarrow \pi^+\pi^-$ составляет 0,2–0,9 %.

Работа частично поддержана грантами РФФИ № 14-02-00129-а и № 16-32-00542-мол-а. Часть работы, связанная с реконструкцией кластеров в калориметре, поддержана РНФ (проект № 14-50-00080).

СПИСОК ЛИТЕРАТУРЫ

1. Achasov M. N. et al. // Nucl. Phys. Proc. Suppl. 2012. V. 225–227. P. 66–68.
2. Беркаев Д. Е. и др. // ЖЭТФ. 2011. Т. 140, вып. 2(8). С. 247–255;
Abakumova E. V. et al. // Nucl. Instr. Meth. A. 2014. V. 744. P. 35–40;
Abakumova E. V. et al. // JINST. 2015. V. 10. P. T09001.
3. Барняков А. Ю. и др. // ПТЭ. 2015. Т. 58, № 1. С. 37–42.